3. 複合型露出柱脚のコンパクト型試験体に関する実験的研究

一概要一

本研究は、複合型露出柱脚のベースプレートサイズの縮小化を図るため、配置および形状の合理化を図ったコンパクト型の試験体に関するものである。

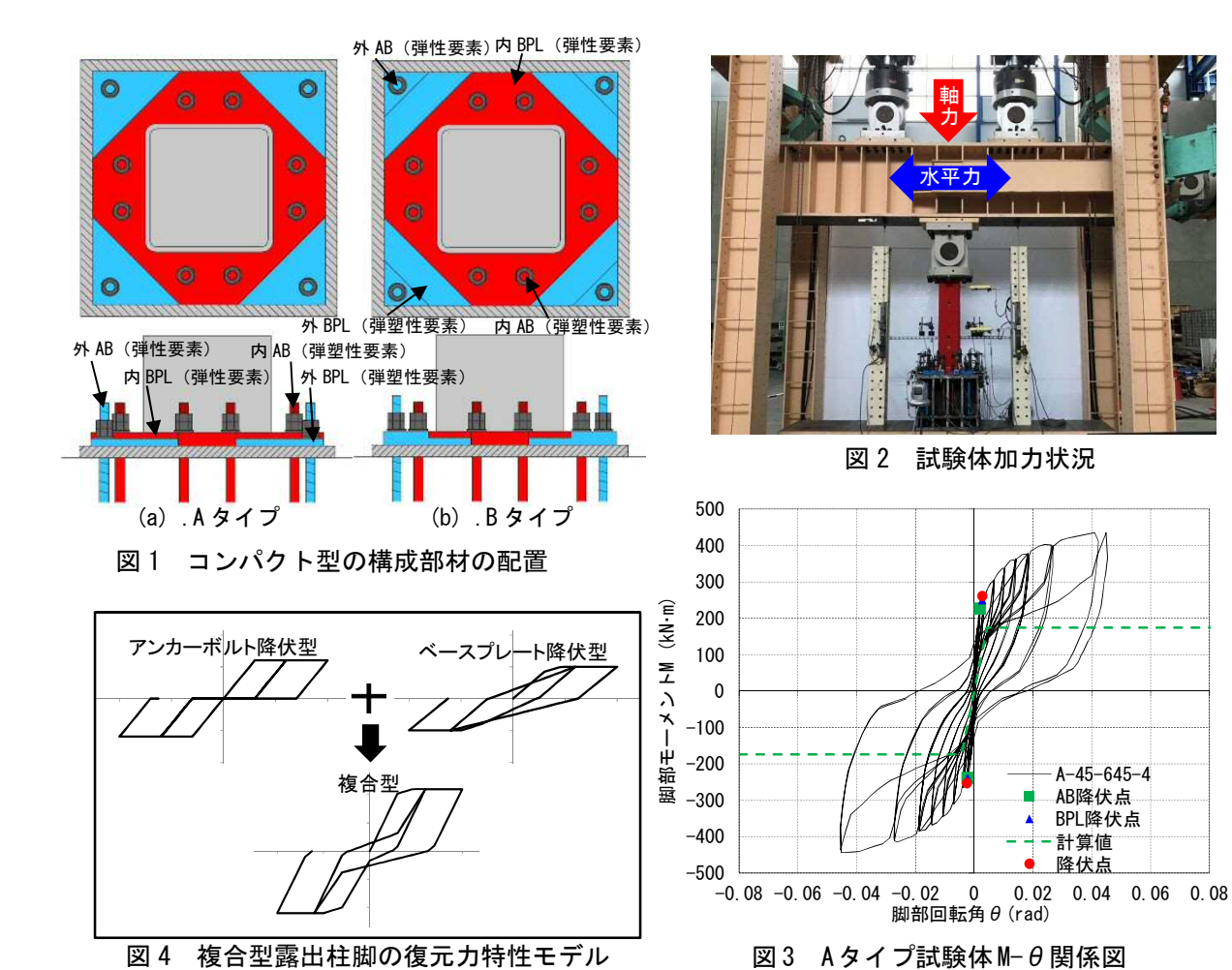
コンパクト型は、内ベースプレートを 45 度方向に回転させ、その外周部に外ベースプレートを配置 することで合理化を図った試験体(図 1)である。試験体は A タイプ(図 1-a.)と B タイプ(図 1-b.)の 2 種類を製作し、加力実験(図 2)を行った。

本報では、コンパクト型試験体の復元力特性(**図3**)を確認するとともに、既往の実験との比較を行い、降伏耐力および回転剛性の算出式を検証した。

ー技術的な特長ー

複合型露出柱脚は、従来のアンカーボルト降伏要素を形成する内側のアンカーボルト、ベースプレートとベースプレート降伏要素を形成する外側のアンカーボルト、ベースプレートから構成される。

それぞれの降伏要素をほぼ同時に降伏するよう設計することで、復元力特性がスリップ型と最大点指向型を足し合わせた複合型となる(**図 4**)。これにより、アンカーボルトが塑性化し、在来型露出柱脚では耐力を負担できない領域においても、ベースプレート降伏要素による耐力負担が期待できる。



*技術研究所 構造研究部 建築構造研究室 **日本大学短期大学部 准教授

複合型露出柱脚のコンパクト型試験体に関する実験的研究

Experimental Study on Compact-type Specimens of Composite-type Exposed Column Bases

○寺内 将貴*

柳田 佳伸*

新井 佑一郎*

石鍋 雄一郎**

Masaki TERAUCHI Yoshinobu YANAGITA

Yuichiro ARAI

Yuichiro ISHINABE

ABSTRACT The Composite-type exposed column base is one type in exposed column base of steel frame building. Report the experimental results of a sample with a reduced base plate size of about 15%. It has been confirmed that it has the same performance as the previously reported composite-type exposed column base. And it was confirmed that the design formula could be applied.

Keywords:露出型柱脚,ベースプレート降伏型,アンカーボルト降伏,復元力特性,構造性能 Exposed-type column bases, Base plate yield type, Anchor bolt yield type, Restoring force characteristics, Structural performance

1. はじめに

鉄骨造建物における柱脚は、露出型柱脚、根巻型柱脚、埋込型柱脚の3形式に大別できる¹⁾。その中でも、露出型柱脚が最も広く用いられており、複合型露出柱脚はその1種類である。

露出型柱脚を用いた骨組の降伏形式は、柱ヒンジ型と柱脚ヒンジ型に分類することができるが、 柱脚ヒンジ型とした場合、その多くはアンカーボルト降伏型と呼ばれる降伏形式を採用している。

アンカーボルト降伏型は、アンカーボルトを先行降伏させることで地震エネルギーを吸収するが、アンカーボルトが塑性化した領域ではスリップ型の復元力特性となることから耐力負担ができない領域を有する。一方、ベースプレートを降伏形式とする露出柱脚も提案されてきたが、エネルギー吸収性能は高い²⁾ものの、単体では回転剛性の確保が難しいこと、また、変形性状が複雑なため耐力、剛性等の性能評価が困難であることから、一般的にはあまり用いられていない。

そこで、筆者らは、アンカーボルト降伏要素とベースプレート降伏要素が形成される複合型露出柱脚の開発を行ってきた^{3)、4)}。複合型露出柱脚は、アンカーボルトとベースプレートが、ほぼ

同時に降伏するよう設計する。これにより、アンカーボルト降伏要素で回転剛性を確保し、ベースプレート降伏要素で、アンカーボルトが塑性変形した領域においても十分な耐力を保持する柱脚が実現する。

本報では、複合型露出柱脚の構成部材の配置および形状をより合理化したコンパクト型試験体(図1)の加力実験について報告する。

2. 実験概要

コンパクト型は、既報^{3)、4)}の複合型露出柱脚の内ベースプレートを 45 度回転させ、外周部に外ベースプレートを配置する。これにより、ベースプレート降伏要素を合理的に配置することができ、柱サイズ 250 角の複合型露出柱脚のベースプレートサイズを 15%程度縮小化できる。

コンパクト型試験体の試験体諸元を表 1、試験体の形状を図 2~図 5 に示す。コンパクト型試験体は外ベースプレートに段差を設けない A タイプと外ベースプレートに段差を設け降伏領域をより明確化した B タイプの 2 種類の形状とし、合計 7 体の試験体を製作した。試験体名は、(タイプ) - (内ベースプレート板厚) - (軸力) - (内アンカーボルト本数)で表記する。

^{*}技術研究所 構造研究部 建築構造研究室

^{**}日本大学短期大学部 准教授

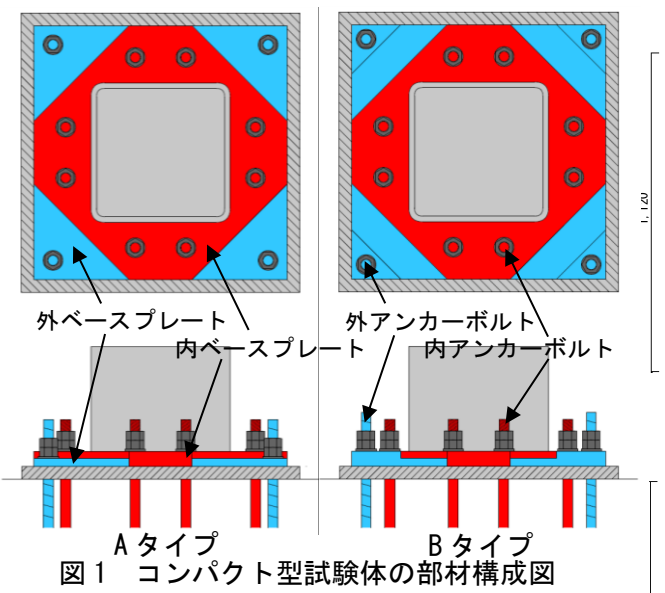


表 1 試験体諸元

試験体名※1	A-40	A-45	B-40	B-45	
++	BCR295 - 250 × 250 (mm) t=16mm				
柱	h=1,058mm	h=1, 053mm	h=1, 058mm	h=1,053mm	
内 BPL ^{※2}	$SN490C - 495 \times 495 \text{ (mm)}$		SN490C - 425 × 425 (mm)		
	t =40mm	t =45mm	t =40mm	t =45mm	
外 BPL**2	SS400 - 550 × 550 (mm) **4		SN400B-		
			$550 \times 550 (\text{mm})^{-84}$		
	t =16mm	t= 19mm	t =16mm	t= 19mm	
内 AB ^{※3}	ABR400 - M22		ABR490 - M22		
	ℓ =508mm ^{※5}	ℓ =513mm ^{**5}	ℓ =508mm [*] 5	ℓ =508mm ^{※5}	
外 AB ^{※3}	SD490 - D29		TS700 ^{%6} -M30		
	ℓ =484mm ^{※5}	ℓ =487mm ^{※5}	ℓ =508mm [*] 5	ℓ =508mm ^{※5}	

※1:試験体名 (タイプ) - (内 BPL 板厚)※2:BPL=ベースプレート ※3:AB=アンカーボルト※4 外 BPL の寸法はベースプレート全体の寸法を記載 ※5:有効長さ※6:建築構造用 700N/mm² アンカー用ボルト

表 2 載荷プログラム

	11 / 4 11 1144	#u/#n			
	サイクル数	制御			
	1 🗓	弾性範囲確認 水平荷重 30kN			
正負交番繰返し載荷		柱部材角 R= 1/200 rad			
		R= 1/133 rad			
		R= 1/100 rad			
	2 回	R= 1/67 rad			
		R= 1/50 rad			
		R= 1/40 rad			
		R= 1/33 rad			
群 荷	アン	vカーボルト締直し補修作業 (1)			
IPJ		R= 1/33 rad			
	2 回	R= 1/25 rad			
		R= 1/17 rad			

また、本実験では柱脚のみの性能確認とするため、基礎部に鋼製基礎を用いて実験を行った。載荷プログラムを表2に示す。加力は軸力を一定に

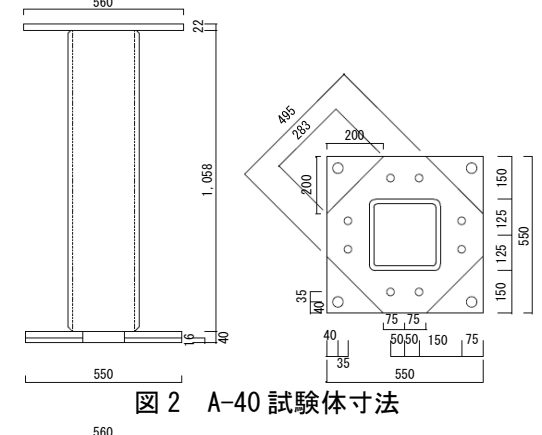


図3 A-45 試験体寸法

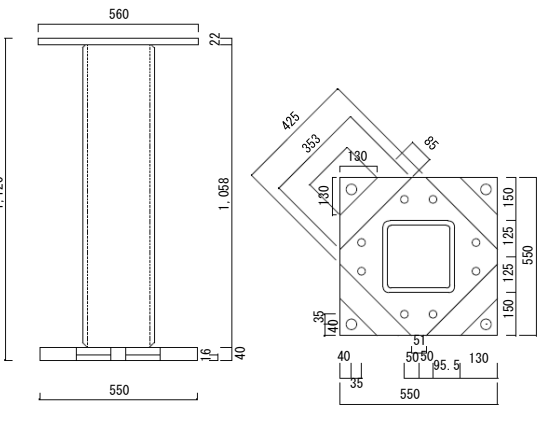


図 4 B-40 試験体寸法

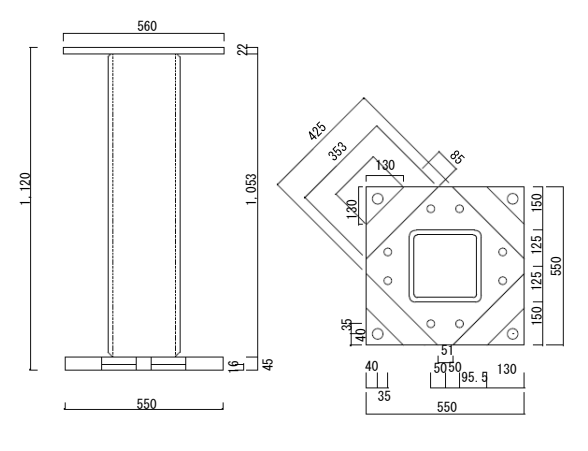
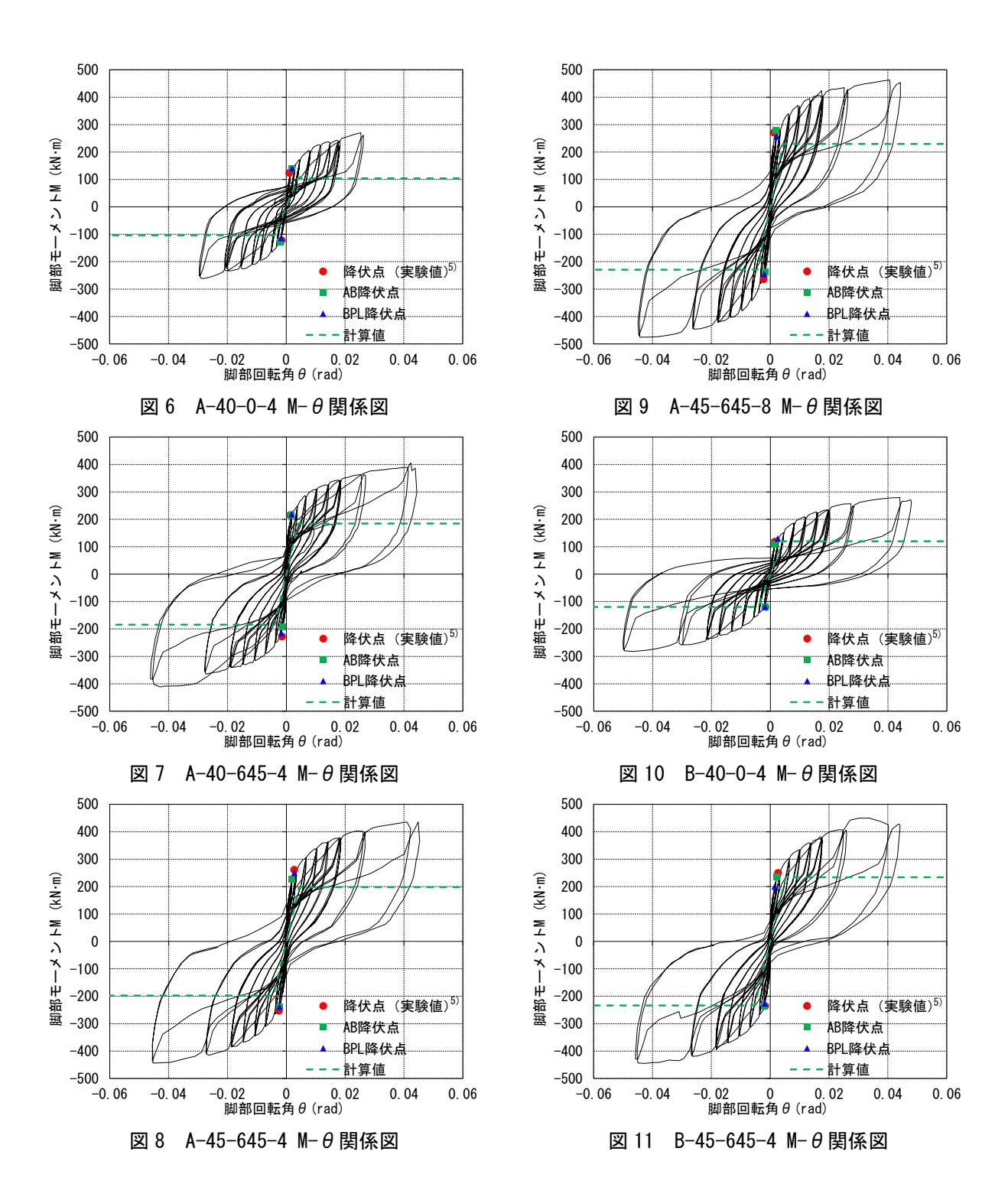


図 5 B-45 試験体寸法

120



(軸力 N=0 もしくは、N=645kN) 保持し、水平荷 重を作用させる。柱に取り付けた変位計を基準と して、柱部材角 R=1/200rad から R=1/17rad まで 正負交番繰返し載荷を実施することとした。

また、コンパクト型は8本の内アンカーボルト を挿入する構成となるが、基本的な挙動を把握す ることを目的とし、左右4本の内アンカーボルト のみを挿入した試験体と8本すべての内アンカーボルトを挿入した試験体がある。

3. 実験結果

各試験体の M-θ (脚部モーメント - 脚部回転角) 関係を図 6~図 12 に示す。アンカーボルト降伏は内アンカーボルトに取り付けたひずみゲージの値が材料試験より求めた降伏ひずみの

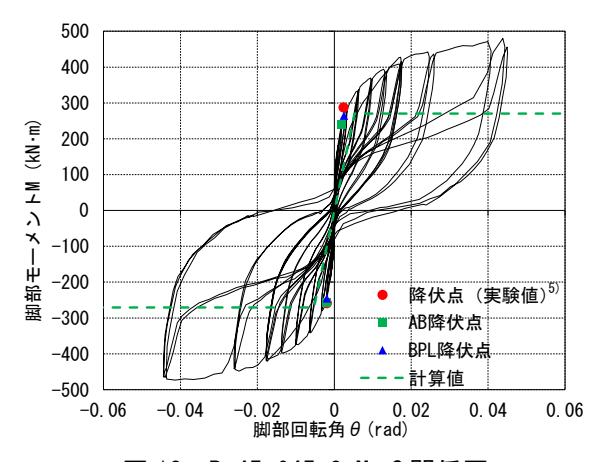


図 12 B-45-645-8 M-θ関係図

・複合型露出柱脚の降伏曲げ耐力式

$$M_{by} = \frac{{}_{b}\sigma_{yo} \cdot b \cdot B_{o} \cdot t_{o}^{2}}{d \cdot c_{m}} + n_{t} \cdot {}_{b}a_{ie} \cdot {}_{a}\sigma_{y} \cdot (d_{c} + d_{t}) + M_{N} \quad (1)$$

複合型露出柱脚の弾性回転剛性評価式

$${}_{f}K_{r} = \left(\frac{E \cdot b \cdot B_{o}^{2} \cdot t_{o}}{150 \cdot d \cdot c_{m}} + \frac{E \cdot n_{t} \cdot {}_{b}a_{i} \cdot (d_{c} + d_{t})^{2}}{2l_{ai}}\right) \cdot \alpha_{N}$$

$$(2)$$

M_{bv}:複合型露出柱脚の降伏耐力

 $b\sigma_{vo}$: 外ベースプレートの降伏応力 (材料試験結果)

b:想定降伏線の平均長さ

 B_o :外ベースプレート幅

t。:外ベースプレート板厚

d:弾塑性板の幅

c_m :ベースプレート形状定数 (=2.3)

n, :引張側アンカーボルト本数

 $_{b}a_{ie}$:内アンカーボルトのねじ部有効断面積

aσ。:内アンカーボルトの降伏応力(材料試験結果)

 d_c :柱芯から柱外縁までの距離

 d_t :柱芯から引張側内アンカーボルトまでの距離

 M_N :軸力による付加曲げモーメント $(d_c \times N)$

_fK_r:複合型露出柱脚の弾性回転剛性

E:鋼材のヤング係数

 $_{b}a_{i}$:内アンカーボルトの軸部断面積 l_{oi} :内アンカーボルトの有効長さ

α_N :軸力効果の係数

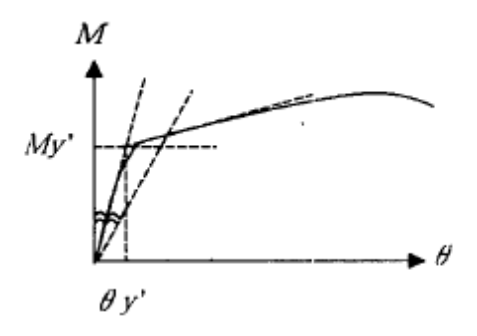


図 13 降伏点の算出方法 5)

到達した点とした。また、ベースプレート降伏点 も同様に外ベースプレートに貼り付けたひずみ ゲージの値が降伏ひずみに達した点を記載して いる。

図中の計算値は複合型露出柱脚の設計式⁴⁾である(1)式および(2)式より算出した降伏曲げ耐力および弾性回転剛性の値を示す。

本報では、内アンカーボルトおよび外ベースプレートの降伏応力を材料試験より算出した値としている。

また、降伏点は**図 13**⁵⁾ に示す算出方法を用いた。

3.1 復元力特性の比較

全ての試験体において、既報の複合型露出柱脚の復元力特性モデルとほぼ一致する M- Ø 関係となった。このことから、コンパクト型において、既報の複合型露出柱脚と同様にアンカーボルト降伏要素とベースプレート降伏要素が複合的に形成されていることがわかる。

また、内アンカーボルトを4本とした試験体と8本とした試験体において、その復元力特性に大きな違いはなく、8本の内アンカーボルトを挿入した試験体の方が、降伏点および最大荷重が高い傾向となった。

3.2 降伏曲げ耐力の比較

降伏曲げ耐力(計算値)と降伏点(実験値)の 比較および内アンカーボルト、外ベースプレート の降伏時耐力を表3に示す。試験体によってはベ ースプレート底面と鋼製基礎間に生じるガタの 影響から正負の回転角にズレが生じているため、 本報では、正負の平均値を実験値としている。

A タイプ試験体では、降伏曲げ耐力(計算値) を降伏点(実験値)が上回る結果となった。また、 B タイプ試験体では、計算値と実験値が、ほぼ一 致するような結果となった。

既報⁴⁾ において、(1) 式は、1割から2割程度 安全側に評価していた。コンパクト型試験体にお いても同様の傾向にあることから、降伏曲げ耐力

試験体名	降伏曲げ 耐力 M _{by} (計算値) [kN・m]	降伏点 M _y (実験値) [kN・m]	$M_{ m by}/M_{ m y}$	内アンカーボル ト降伏時耐力 [kN・m]	外ベースプレー ト降伏時耐力 [kN・m]
A-40-0-4	104.0	122.8	0.85	134.3	126.8
A-40-645-4	184.6	221.4	0.83	203.5	216.6
A-45-645-4	197.6	257.3	0.77	232.5	244.0
A-45-645-8	229.5	267.4	0.86	258.5	251.3
B-40-0-4	119.9	119.2	1.01	113.6	124.3
B-45-645-4	234.0	242.9	0.96	235.9	213.2
B-45-645-8	270.5	272.9	0.99	247.5	254.8

表 3 降伏曲げ耐力の比較

の算出は、内アンカーボルトと外ベースプレート の降伏耐力の単純累加である(1)式が適用でき ることを確認した。

また、内アンカーボルトと外ベースプレートが 降伏点(実験値)付近で降伏ひずみに達している ことから、それぞれの降伏形式がほぼ同時に降伏 していることが確認できる。

3.3 試験体の変形状況

試験体の変形状況を写真1~4に示す。

A タイプ試験体 (写真 1、2)、B タイプ試験体 (写真 3、4) において、コンパクト型複合型露出柱 脚の降伏概念図 (図 14) のように内アンカーボルトおよび外ベースプレートが変形している。

また、外アンカーボルトが逆八の字型に曲がるよう変形している。これは、既往の実験でも同様の現象を確認しているが、柱部材角 R=1/33rad を超えた変形角から外ベースプレートの浮上りに伴い発生する。しかし、外アンカーボルトに緩み等は発生せず、最終サイクルまで固定機能を失わないことを確認している。

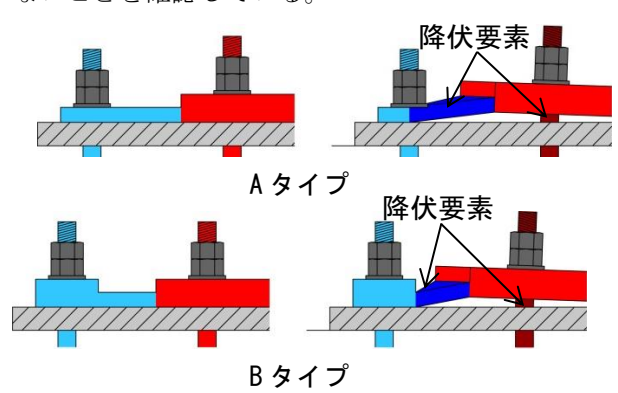


図 14 コンパクト型降伏概念図

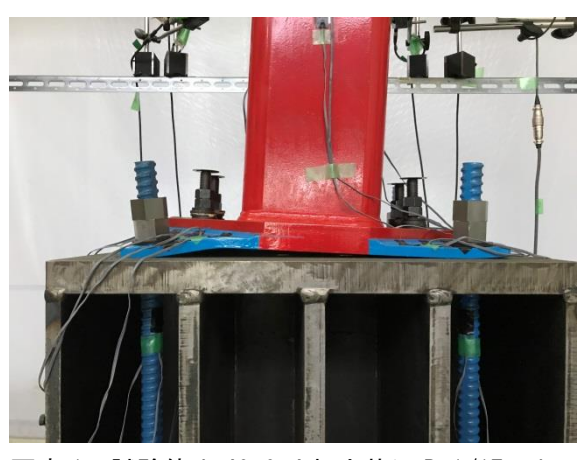


写真 1 試験体 A-40-0-4 加力状況 R=1/17rad



写真 2 試験体 A-45-645-4 加力状況 R=1/17rad



写真 3 試験体 B-40-0-4 加力状況 R=1/17rad

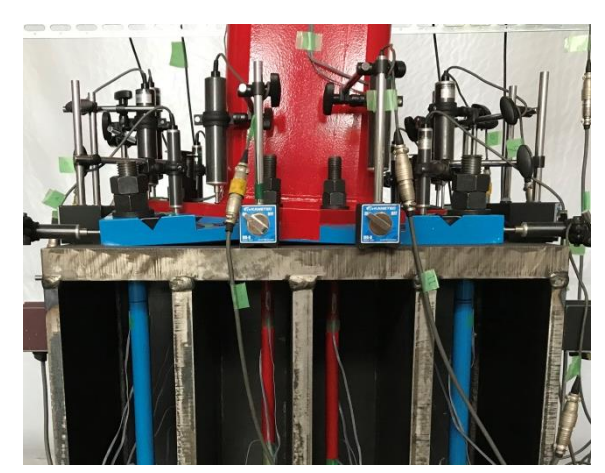


写真 4 試験体 B-45-645-8 加力状況 R=1/17rad

ンカーボルト本数の違い(写真3、4)による影響は目視では確認されなかった。

3.4 内アンカーボルトと外ベースプレートの降 伏変形角

複合型露出柱脚の耐力は、内アンカーボルトと 外ベースプレートの耐力の単純累加により算出 できる。これは、それぞれの降伏形式がほぼ同時 に降伏することが重要な要素となる。

表 4 にそれぞれの降伏変形角(脚部回転角)を 示す。

はぼ全ての試験体において、内アンカーボルトと外ベースプレートが同時期に降伏していることが確認できる。一部の試験体において、乖離が見られるが、試験体と鋼製基礎のガタによる影響が考えられ、正負の平均とした場合、0.8~1.3程度になる。

表 4 内アンカーボルトと外ベースプレートの 降伏変形角の比較

試験体名	内 AB 降伏変形角 [rad]		外 BPL 降伏変形角 [rad]		内 AB/外 BPL	
	+	-	+	-	+	-
A-40-0-4	0.0021	0.0020	0.0021	0.0017	1.00	1.18
A-40-645-4	0.0016	0.0012	0.0018	0.0017	0.89	0.73
A-45-645-4	0.0019	0.0023	0.0028	0.0023	0.69	1.00
A-45-645-8	0.0019	0.0017	0.0022	0.0020	0.86	0.85
B-40-0-4	0.0014	0.0018	0.0025	0.0018	0.58	1.00
B-45-645-4	0.0023	0.0021	0.0016	0.0018	1.47	1.17
B-45-645-8	0.0019	0.0021	0.0026	0.0019	0.75	1.11

4. まとめ

本実験で得られた知見を以下にまとめる。

- 1) コンパクト型試験体の復元力特性は、既報の 複合型露出柱脚の復元力特性と一致したこと から、アンカーボルト降伏要素とベースプレー ト降伏要素が複合的に形成されていることを 確認した。
- 2) 降伏曲げ耐力(計算値)と降伏点(実験値)がほぼ一致したことから、降伏曲げ耐力の計算式((1)式)が、コンパクト型においても適用できることを確認した。
- 3) 複合型露出柱脚は、内アンカーボルトと外ベースプレートがほぼ同時に降伏することで、複合型の復元力特性となるが、実験において、ほぼ同時期に降伏していることを確認した。その比率は 0.8~1.3 程度となった。

「謝辞]

本研究を行うに際し、天雲産業(株)よりアンカーボルト (TS700)を提供していただいた。関係各位に感謝の意を表す。

[参考文献]

- 1) 秋山宏, 鉄骨柱脚の耐震設計, 技法堂出版, 1985.3
- 2) 柳田佳伸, 半貫敏夫, 秋山宏: 露出型鉄骨柱 脚の履歴特性に関する実験的研究, 構造工学 論文集, Vol. 51B, pp 303-310, 2005.4
- 3) 柳田佳伸,新井佑一郎,石鍋雄一郎,牛島 栄:基礎コンクリートを配した複合型露出柱 脚の性能確認実験,日本コンクリート工学会 年次論文集,第 41 巻 No.1, pp.1483-1488, 2019.6
- 4) 寺内将貴, 柳田佳伸, 新井佑一郎, 石鍋雄一郎: 複合型露出柱脚の弾塑性要素に関する実験, 青木あすなろ建設技術研究所報, Vol.4, p.2, 2019.4
- 5) 秋山宏,山田哲,松本由香,竹内徹,杉本浩一:鋼構造柱梁改良接合部の終局耐震性に関する実大振動台実験,日本建築学会構造系論文集,vol551,pp.141-148,2002.1